

Kit de tinción de hematoxilina y eosina

Descripción y principio

El kit de tinción de hematoxilina y eosina está diseñado para su uso en aplicaciones de histología y citología. En este kit se incluye una eosina recién formulada que proporciona los beneficios de una fórmula alcohólica tradicional con mejoras significativas en la usabilidad. Las ventajitas incluyen una menor tasa de evaporación, mejores patrones de color, menor tendencia a derramarse sobre el recipiente, las manos y las encimeras, y una mejor tensión superficial para permanecer en la sección del tejido. Nuestra hematoxilina produce núcleos nítidos de color azul intenso que proporcionan un contraste óptimo con el citoplasma teñido con eosina.

Los núcleos se tiñen con una solución rápida y progresiva de hematoxilina. La unión nuclear a la hematoxilina se facilita mediante el uso de aluminio para formar un lago de colorante de aluminio y hemateína. El reactivo azulado se aplica para convertir el complejo insoluble de aluminio-hemateína que es rojo en un lago azul insoluble. El tejido se contrañe con una solución de colorante de eosina Y, lo que da como resultado una tinción diferencial de eritrocitos, colágeno y músculo.

Resultados esperados

| | |
|--------------|------------|
| Citoplasma: | Rosa claro |
| Colágeno: | Rosado |
| Músculo: | Rosa/Rosa |
| Eritrocitos: | Rosa/Rojo |
| Núcleos: | Azul |

Contenido del kit

| | |
|--|---------|
| 1. Hematoxilina, de Mayer (modificación de Lillie) | 18-25°C |
| 2. Reactivo azulado | 18-25°C |
| 3. Solución de eosina Y (alcohólico modificado) | 18-25°C |

Almacenamiento

Controles sugeridos (no incluidos)

Cualquier sección de tejido bien fijado incrustado en parafina o congelado. Frotis celular.

Usos/Limitaciones

Solo para uso en diagnóstico in vitro.
No lo use si los reactivos se vuelven turbios o precipitan.
No lo use después de la fecha de vencimiento.
Tenga cuidado al manipular reactivos.
No estéril.
Diseñado para secciones FFPE cortadas a 5-10 µm.
Este procedimiento no se ha optimizado para secciones congeladas.
Las secciones congeladas pueden requerir una modificación del protocolo.

Almacenamiento

Guarde el kit y todos los componentes a temperatura ambiente (18-25 °C).

Seguridad y precauciones

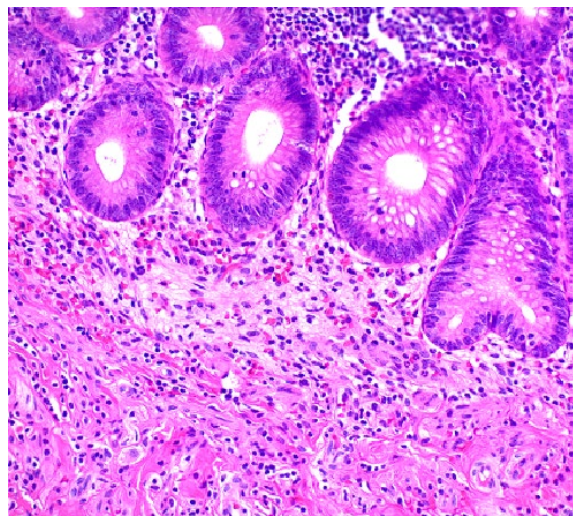
Consulte las hojas de datos de seguridad (SDS) actuales para conocer la clasificación del SGA de este producto y componentes, los pictogramas y las declaraciones de peligro/precaución completas.

Procedimiento:

1. Desparafinar secciones si es necesario e hidratar hasta obtener agua destilada.
2. Aplicar Hematoxilina, Mayer's (Modificación de Lillie) durante 5 minutos.

3. Enjuague el deslizador en 2 cambios de agua destilada para eliminar el exceso de mancha.

4. Aplique el reactivo azulado durante 10-15 segundos.



Human Colon stained with Hematoxylin and Eosin Stain Kit

5. Enjuague la diapositiva en 2 cambios de agua destilada.

6. Sumerja el deslizador en alcohol absoluto y seque el exceso.

7. Aplique la solución de eosina Y (alcohólica modificada) durante 2-3 minutos.

8. Enjuague el portaobjetos con alcohol absoluto.

9. Deshidratar deslizar en 3 cambios de alcohol absoluto.

10. Deslizamiento transparente y montaje en resina sintética.

Referencias

1. Shi X, An X, Yang L, Wu Z, Zan D, Li Z, Pang B, Chen Y, Li J, Tan P, Ma RZ. La deficiencia de reticulocalbina 3 en el epitelio alveolar atenuó la ALI inducida por LPS a través de la señalización de NFκB. *Revista Americana de Fisiología-Fisiología Celular y Molecular del Pulmón*. 24 de febrero de 2021.
2. Kim SY, Lee MS, Chang E, Jung S, Ko H, Lee E, Lee S, Kim CT, Kim IH, Kim Y. El extracto de trigo sarraceno tartarico atenuó la inflamación inducida por la obesidad y aumentó la expresión muscular de PGC-1A / SIRT1 en ratas obesas inducidas por una dieta alta en grasas. *Nutrientes*. marzo de 2019; 11(3):654.
3. Parque BK, Lee JH, Seo HW, Oh KS, Lee JH, Lee BH. La icarina protege contra la mortalidad y el daño inducidos por la radiación in vitro e in vivo. *Revista internacional de biología de la radiación*. 2019 Feb 28(recién aceptado):1-27.
4. Belus MT, Rogers MA, Elzubeir A, Josey M, Rose S, Andreeva V, Yelick PC, Bates EA. Kir2. 1 es importante para la señalización eficiente de BMP en el desarrollo de la cara de los mamíferos. *Biología del desarrollo*. 20 de marzo de 2018.
5. Nicole C. Clark, Cindy A. Pru, Siu-Pok Yee, John P. Lydon, John J. Peluso, James K. Pru. La ablación condicional del componente 2 de la membrana del receptor de progesterona causa la senescencia reproductiva prematura femenina. *Endocrinology*, volumen 158, número 3, 1 de marzo de 2017, páginas 640-651, <https://doi.org/10.1210/en.2016-1701>
6. Kesharwani, Varun, Shyam Sundar Nandi, Surender K. Sharawat, Hamid R. Shahshahan y Paras Kumar Mishra. "El sulfuro de hidrógeno mitiga la remodelación

patológica mediada por homocisteína al inducir miR-133a en cardiomiocitos". *Bioquímica molecular y celular* 404, no. 1-2 (2015): 241-250.

7. Korytnikov, Roman y Maria Cristina Nostro. "Generación de linajes progenitores pancreáticos polihormonales y multipotentes a partir de células madre pluripotentes humanas". *Métodos* (2015).

8. Y. Amir-Levy, K. Mausner-Fainberg y A. Karni, "El tratamiento con anti-EGF Ab mejora la encefalomiелitis autoinmune experimental mediante la inducción de neurogénesis y oligodendrogénesis", *Multiple Sclerosis International*, vol. 2014, p. e926134, diciembre de 2014.

9. P. Zhang, X. Xu, X. Hu, H. Wang, J. Fassett, Y. Huo, Y. Chen y R. J. Bache, "La deficiencia de DDAH1 atenúa la progresión del ciclo celular endotelial y la angiogénesis", *PLoS ONE*, vol. 8, no. 11, p. e79444, noviembre de 2013.

10. Kim, H., Seol-bong, Y., Choe, J.Y., Paik, J.H., Xu, X., Nitta, H., Zhang, W., Grogan, T.M., Lee, C.T., Jheon, S., Chung, J.H. Detección del reordenamiento del gen ALK en el cáncer de pulmón de células no pequeñas, una comparación de la hibridación fluorescente in situ y la hibridación cromogénica in situ en correlación de la expresión de la proteína ALK. *Revista de Oncología Torácica*, Volumen 6, Número 8, páginas 1359-1366, agosto de 2011.

11. Sheenan, D.C., Hrapchak, B.B. *Teoría y Práctica de la Histotecnología*, 2ª Edición. CV Mosby, Columbus, OH. Páginas 140-141, 1980.

12. Lillie, R.D., Fullmer, H.M. *Técnica histopatológica e histoquímica práctica*, 4ª edición, McGraw-Hill, NY. Páginas 205-208, 1976.

13. Luna, L.G. *Manual de Métodos de Tinción Histológica del Instituto de Patología de las Fuerzas Armadas*, 3ª edición, McGraw-Hill, NY, páginas 34-35, 1968



ScyTek Laboratories, Inc.
205 South 600 West
Logan, UT 84321
435-755-9848
U.S.A.



Ergo Europe
Prinsessegracht 20
2514 AP The Hague, The Netherlands